

Werk

Label: Table of literature references

Jahr: 1931

PURL: https://resolver.sub.uni-goettingen.de/purl?251726223_0016|log50

Kontakt/Contact

Digizeitschriften e.V.
SUB Göttingen
Platz der Göttinger Sieben 1
37073 Göttingen

✉ info@digizeitschriften.de

Literaturverzeichnis.

- CASTEL, C., 1880/81: Descripción física, geognóstica, agrológica y forestal de la provincia de Guadalajara. — Bol. Com. Mapa Geol. de Esp., t. 7, p. 331—395, t. 8, p. 157—264.
- CHOFFAT, P., 1886: Recueil d'études paléontologiques sur la faune crétacique du Portugal. Vol. I. Lisbonne.
- CORTAZAR, DAN. DE, 1891: Descripción física y geológica de la provincia de Segovia. — Bol. Com. Mapa Geol. de Esp., t. 17.
- DEREIMS, A., 1898: Recherches géologiques dans le sud de l'Aragon. — Thèses Fac. des Scienc. de Paris, Lille.
- FERNÁNDEZ NAVARRO, 1900: Observaciones sobre el terreno arcaico de la provincia de Guadalajara. — Anales Soc. Esp. de Hist. Nat., t. 29.
- , 1915: Monografía geológica del Valle de Lozoya. — Trabaj. Mus. Nac. Cienc. Nat. ser. geol., N. 12. Madrid.
- HAHNE, C., 1930: Stratigraphische und tektonische Untersuchungen in den Provinzen Teruel, Castellón und Tarragona (Spanien). — ZS. Deutsch. Geol. Ges., Bd. 82, H. 2.
- HERNÁNDEZ-PACHECO, E., 1923: Edad y origin de la Cordillera Central de la Península Ibérica (Resumen de la conferencia pronunciada el 27 de Junio de 1923). Asociación esp. para el Progreso de las Ciencias. — Congr. de Salamanca, t. 2, Madrid.
- Hiendelaencina, 1928: Memoria explicativa de la Hoya N. 460, Hiendelaencina. — Mapa Geol. del Inst. Geol. y Min. de Esp., Madrid.
- LARRAZET, 1896: Recherches géologiques sur la région orientale de la province de Burgos et sur quelques points des provinces d'Allava et de Logroño. — Thèse de doctorat, Paris.
- LOTZE, F., 1928: Über Analogien zwischen den Faziesverhältnissen des Tertiärbeckens von Calatayud und des deutschen Zechsteinbeckens. — ZS. Deutsch. Geol. Ges., Bd. 90, Monatsber. V.
- , 1929: Stratigraphie und Tektonik des Keltiberischen Grundgebirges (Spanien). — Abhdl. d. Ges. d. Wissensch. Göttingen, Math.-phys. Kl., Neue Folge Bd. 14, N. 3.
- MACPHERSON, J., 1883: Sucesión estratigráfica de los terrenos arcaicos en España. — Anales Soc. Esp. de Hist. Nat., t. 12.
- MALLADA, L., 1895: Rocas hipogénicas y sistema estrato-cristalino. — Explicación del Mapa Geol. de España, t. 1, Madrid.
- , 1896: Sistemas cambriano y siluriano. — Explicación del Mapa Geol. de España, t. 2, Madrid.

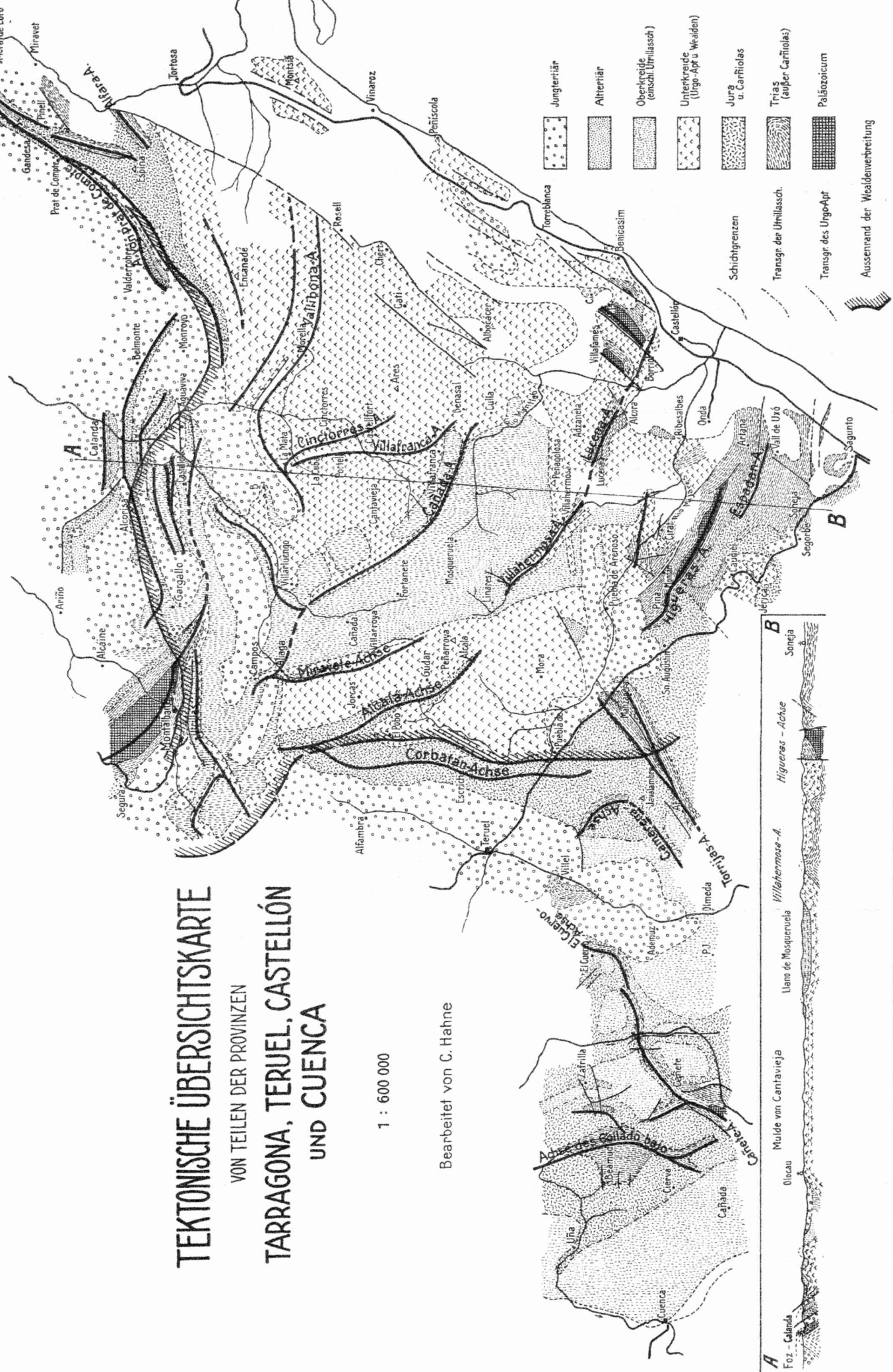
- PALACIOS, P., 1879: Reseña geológica y física de la parte NO. de la provincia de Guadalajara. — Bol. Com. Mapa Geol. de Esp., t. 6.
- , 1890: Descripción física, geológica y agrológica de la provincia de Soria. — Mem. Com. Mapa Geol. de Esp., Madrid.
- PÉREZ COSSIO, L., 1920: El terrene carbonífero de Tamajón, Retiendas y Valdetoros en la provincia de Guadalajara. — Bol. del Inst. Geol. y Min. de Esp., t. 1, tercera serie, Madrid.
- RICHTER, Gerhard, 1930: Die Iberischen Ketten zwischen Jalón und Demandia. — Abh. Ges. Wissensch. Göttingen, Math.-phys. Kl., N. F. Bd. XVI, 3.
- ROYO GOMEZ, J., 1920: La Sierra de Altomira y sus relaciones con la submeseta del Tajo. — Trabaj. Mus. Nac. Cien. Nat., ser. geol. N. 27, Madrid.
- , 1926 a: Tertiaire continental de Burgos. — XIV. Congr. geol. international, Madrid (Exkursionsfuhrer).
- , 1926 b: La tectonique du Tertiaire continental Iberique. — XIV. Congr. geol. international, resumen de las comunicaciones anunciadas hasta el 15 de Mayo, Madrid.
- , 1927: Geología y paleontología del terciario situado al Norte de Guadalajara. — Bol. Soc. Esp. de Hist. Nat., t. 27.
- SCHRIEL, W., 1930: Die Sierra de la Demandia und die Montes Obarenes. — Abh. Ges. Wissensch. Göttingen, Math.-phys. Kl. N. F. Bd. XVI, 2.
- STAUB, R., 1926: Gedanken zum Strukturbild Spaniens. — Congr. Geol. Intern., XIV. Session, Resumen de las comunicaciones, Madrid.
- STILLE, H., 1921: Übersichtskarte der saxonischen Gebirgsbildung. — Herausgeg. von d. Preuß. Geol. Landesanst.
- , 1924: Grundfragen der vergleichenden Tektonik. — Berlin, Borntraeger.
- , 1927: Über westmediterrane Gebirgszusammenhänge. — Abh. Ges. Wissensch. Göttingen, Math.-phys. Kl., N. F., Bd. XII, 3.
- TORNQUIST, A., 1909: Über die außeralpine Trias auf den Balearen und in Katalonien. — Sitz.-Ber. d. Kgl. Preuß. Ak. d. Wissensch. zu Berlin, Bd. 36.
- TRICALINOS, J., 1928: Untersuchungen über den Bau der Celtiberischen Ketten des nordöstlichen Spaniens. — ZS. d. Deutsch. Geol. Ges., Bd. 80, Abh.
- VIDAL u. DEPÉRET, 1906: Contribución al estudio del Oligoceno en Cataluña. — Mem. R. Acad. d. Cienc. y Art. de Barcelona, t. 5, N. 19.
- WURM, A., 1911: Untersuchungen über den geologischen Bau und die Trias von Aragonien. — ZS. d. Deutsch. Geol. Ges., Bd. 63, Abh.

TEKTONISCHE ÜBERSICHTSKARTE
VON TEILEN DER PROVINZEN
TARRAGONA, TERUEL, CASTELLÓN
UND CUENCA

VON TEILEN DER PROVINZEN

1 : 600 000

Bearbeitet von C. Hahne



Geologische Übersichtskarte der nördlichen Iberischen Ketten

1 : 400000

Bearbeitet von GERHARD RICHTER, 1929

0 4 8 12 16 20 km



[Symbol: dotted line]	Quartär
[Symbol: horizontal line with dots]	Mio-Pliozän
[Symbol: horizontal line with dots and cross-hatching]	Oligozän
[Symbol: horizontal line with dots and cross-hatching]	Eozän
[Symbol: horizontal line with dots and cross-hatching]	Ober-Kreide
[Symbol: vertical line with dots]	Utrillas-Schichten
[Symbol: vertical line with dots]	Cu3
[Symbol: vertical line with dots]	Cu2
[Symbol: vertical line with dots]	Urgo-Apt
[Symbol: horizontal line with dots]	Wealden
[Symbol: horizontal line with dots]	Mittl.+Oberer Jura
[Symbol: horizontal line with dots]	Lias
[Symbol: horizontal line with dots]	Carniolas
[Symbol: horizontal line with dots]	Ophit
[Symbol: horizontal line with dots]	Keuper
[Symbol: solid black area]	Muschelkalk
[Symbol: horizontal line with dots]	Buntsandst.
[Symbol: solid black area]	Paläozökum
[Symbol: diagonal line]	Auflager
[Symbol: diagonal line with cross]	Verwerfung
[Symbol: diagonal line with cross]	Überschiebung
[Symbol: diagonal line with cross]	durch disharmonische Faltung bedingte Diskordanz
[Symbol: diagonal line with cross]	Profilellinen

Profile 1 : 300 000

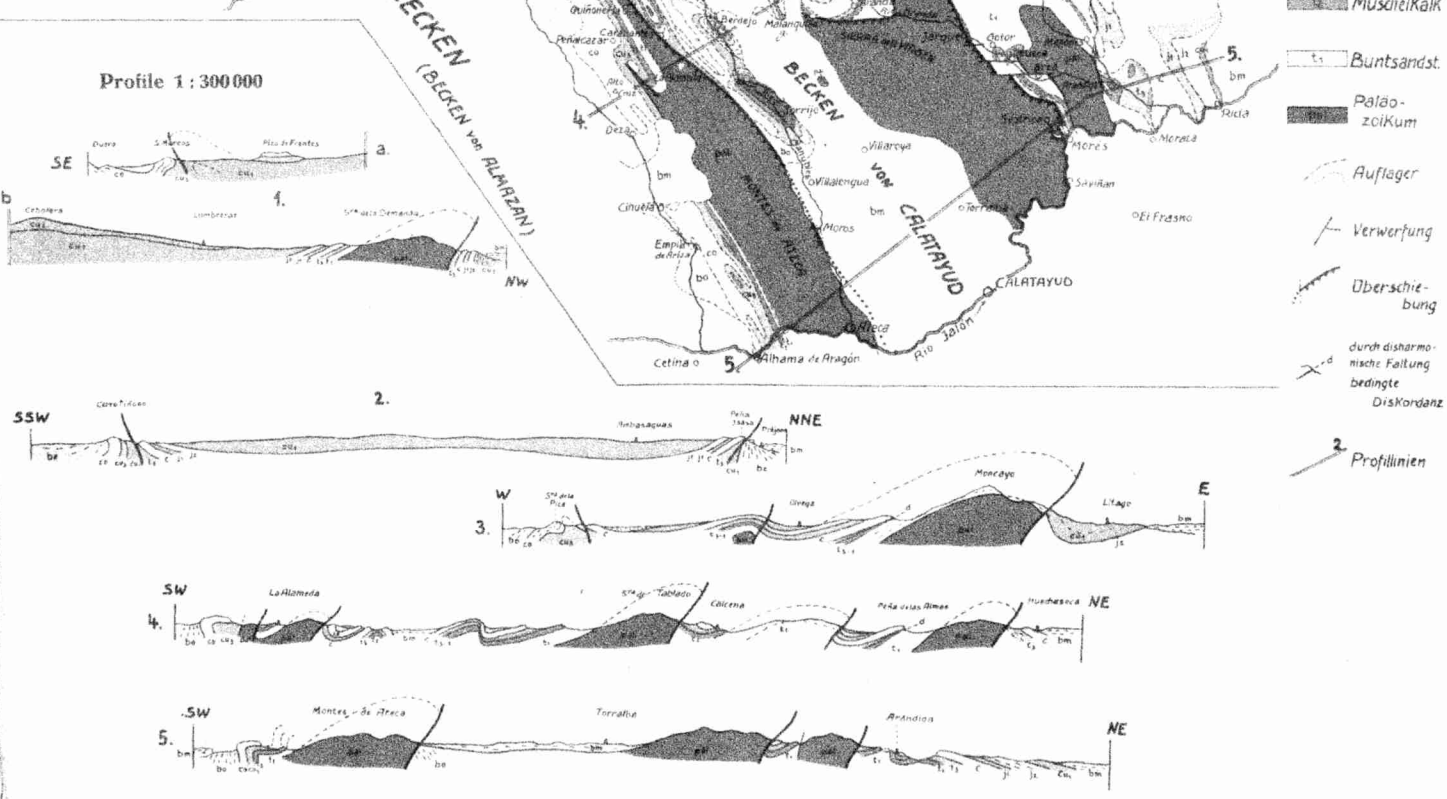
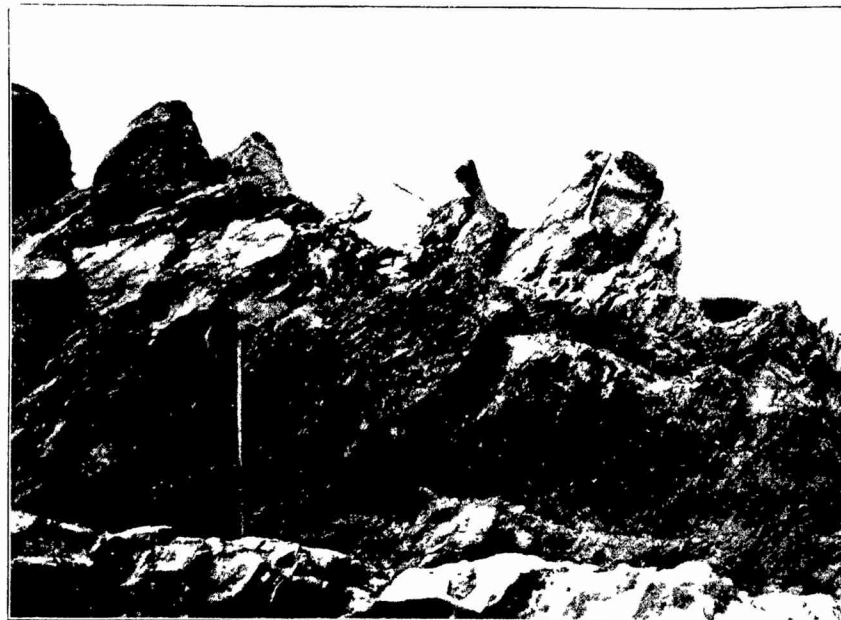




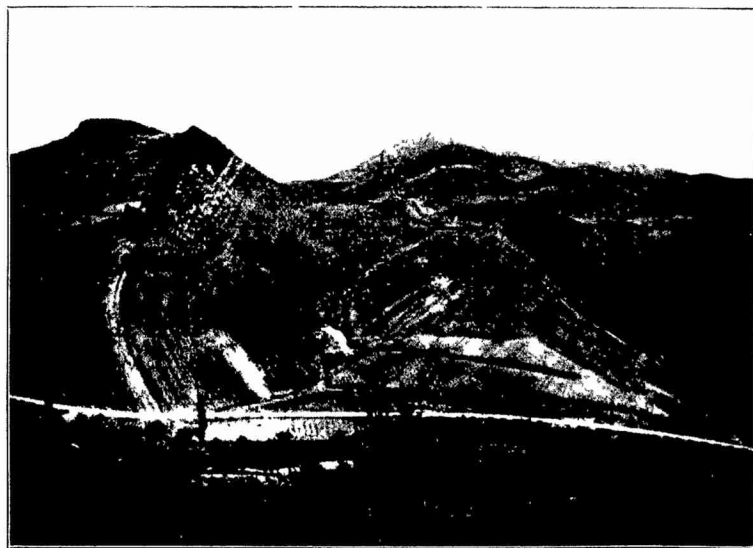
Fig. 1. Ophit unmittelbar östlich Tierga.
Die Schichtserie fällt vom Beschauer weg. K = Keupermergel,
darin O die dunkel heraustretende Decke von Ophit, C = Carriolas.



Fig. 2. Miozän im Becken von Calatayud.
Ca. 2 km östlich vom Bahnhof Ateca. Höhe der Wand 10—12 m.
Wechsellagerung von Sanden mit Konglomeratbänken. Nähe des
westlichen Beckenrandes!



Figur 1



Figur 2.

Fig. 1. Tektonisch durchbewegte Wealdenkalke in der Litagomulde.

Von links oben nach rechts unten (Neigung ca. 30°) verläuft die Schichtung, von rechts oben nach links unten (Neigung ca. 45°) die Schieferung. Schwaches Einfallen der Schichtung gegen Osten (rechts), steiles Einfallen der Schieferung gegen Westen, gegen den Moncayo hin. Ca. 1½ km östlich der Moncayosattel-Randstörung dicht beim Dorfe Litago.

Fig. 2. Die überkippte Triasmulde von San Babíl/Illueca.
Gesehen von Westen (s. Abb. 17, S. 99). Die hohen Berge im Hintergrunde rechts bestehen aus Paläozoikum. Hinter den Kalkfelsen rechts liegt das Dorf Illueca auf Buntsandstein (im Bild nicht sichtbar). Die terrassierten Hänge ganz links zeigen Röt. Die beiden Kalkrippen sind Muschelkalk. Die morphologische Einsatellung dazwischen ist bedingt durch die weichen Keupergesteine. Der Muschelkalkzug links fällt normal steil südlich, der rechte Muldenflügel zeigt überkipptes Südfallen (s. Abb. 16, S. 98). Das Paläozoikum der Berge im Hintergrund ist von Süden her auf die Mulde überschoben. Der Pfeil bezeichnet die Schubrichtung.

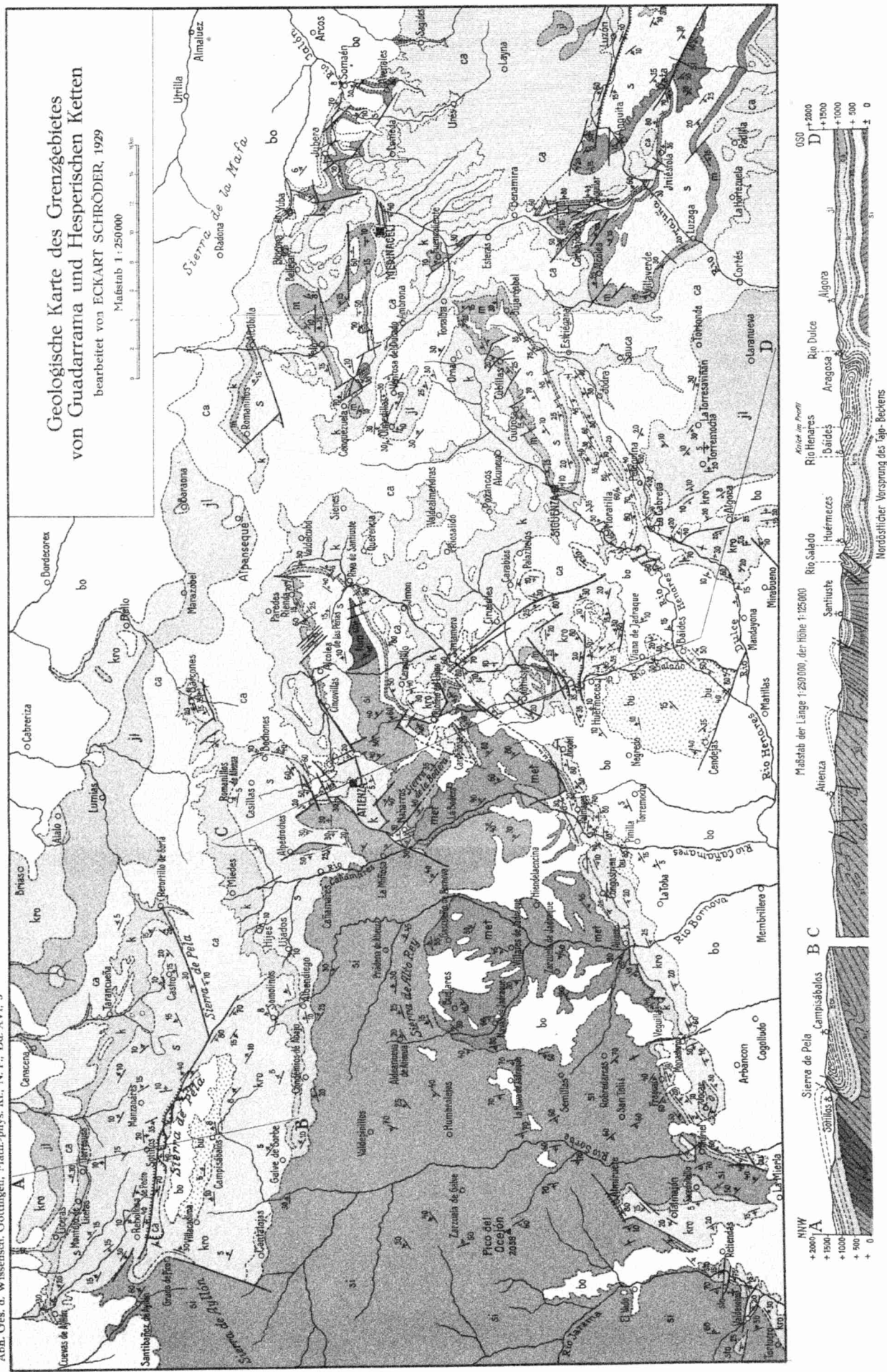




Abb. 23. Steilgestellte Carniolas-Kalke, diskordant überlagert von jungtertiärem Konglomerat, am Nordostflügel des Sattels von Sagides-Blocona. Jalónthal zwischen Medinaceli und Arcos.



Abb. 24. Umbiegung der aufgerichteten Muschelkalk- und Buntsandsteinschichten am Südostflügel des Sattels von Riva de Santiuste.



Abb. 25. Nach Westen hin übergelegter Kreidesattel bei Aragosa im Tale des Rio Dulce. Im Sattelkern Sande des Alb.

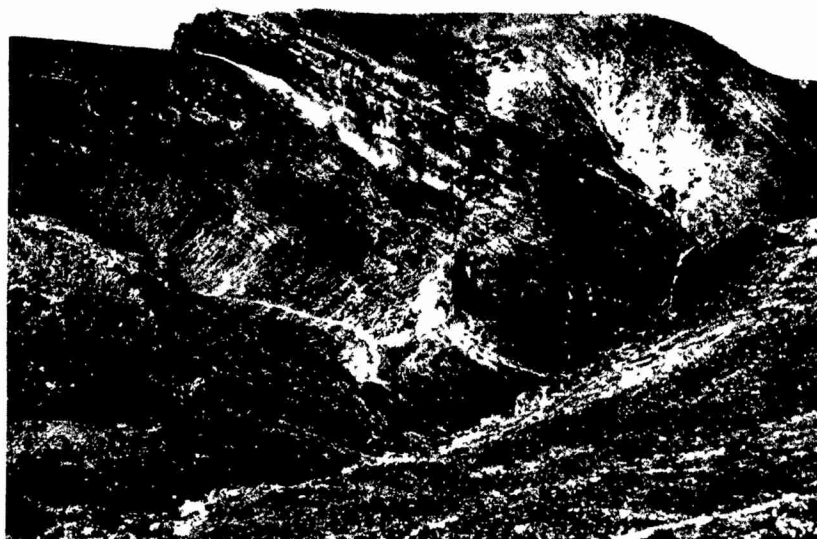


Abb. 26. Kreidemulde mit saiger gestelltem Nordschenkel bei Santamera. Tal des Rio Salado.



Abb. 27. Aufgerichtete alttertiäre Schichten, zum Tajobecken hin
eintallend und z. T. von Jungtertiär diskordant überlagert, neben
der Kreide bei Huérmececs.

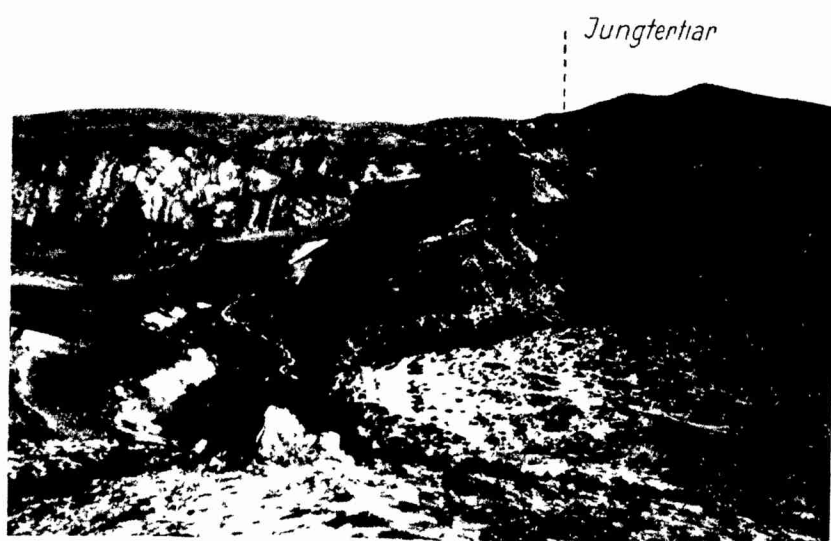


Abb. 28. Konkordanter Verband von Alt- und Jungtertiär am
Ostflügel des Alttertiärsattels bei Báides.

